

1733-80

1733380

Photoelectronic devices.
Methods for measurement of spectral sensitivity of photocathodes.

17333-71

63 6700

29.01.80 438

01.07.81

2 07.10.92

(2—93)

()

115—1500 :

, ;

11612.0-81. — 21316.0—75

306-1, 306-2, 306-4.

(, . 1).

1.

1.1.

1.1.1.

1.1.2.

1.2.

1.2.1.

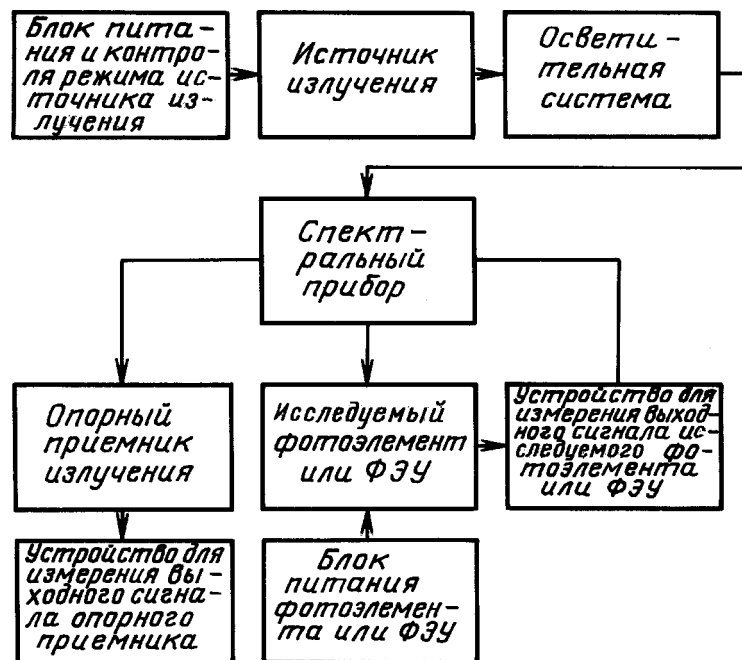
1.2.2.

. 1.

17616—82.

* (2001 .) 1, 1986 . (10—86)

© , 1980
© , 2001



1

1.2.3.

(, ,).

(360—1500)
 -10—
 -70.
 -10— (300—380)
 (110—340) 21195—84,

1.2.1—1.2.3. (, . 1).
1.2.4.

1.2.5.

1 %.

1.2.6.

-20 , 2 %

.3 17333-80

1.

2.

,

1.2.7.

21316.0- 75 11612.0-81.

1.2.8.

21316.0—75

11612.0- 81.

1.2.5—1.2.8.(

1.3.

1.3.1.

1.3.2.

1.3.3.

5—20

10—30

1.3.4.

1.3.3.

1.4.

1.4.1.

 $S_K(\lambda)$

$$(1) \quad S_K(\lambda) = \begin{vmatrix} \ll(\lambda) & \ll(\lambda) \\ \ll(\lambda) & \ll(\lambda) \end{vmatrix}$$

()—
 $\omega_0(\lambda)$ —
 1.4.2.

$S_{00}(\lambda)$ —
 1.4.3.

$$(2) \quad S_{00}(\lambda) = \frac{\ll(\lambda)}{\ll(\lambda)^{1/2}} \cdot \frac{\ll(\lambda^*)}{\ll(\lambda^*)} \cdot \text{det}_{\text{max}} \left(\text{TM} \right),$$

$$(3) \quad \ll(\lambda) = \frac{n_k(\lambda)}{n_0(\lambda)} \cdot \lambda \left[\frac{-\text{ft}}{\ll(\lambda)} \right]$$

1.5.

+10 %,
 $(220-380)$ —+16 %.
 $(780-1200)$ — $(380-780)$ —+12 %,

(, . 1).

2.

2.1.

2.1.1.

2.2.

2.2.1.

2.2.2.

2.2.3.

$$\int U(A_i) d \quad , \quad) -$$

$$(\quad) , \int d X($$

$$) \quad J \quad < S_{OTH}(A) J \quad , \quad .$$

2.3.

2.3.1.

2.3.2.

2.4.

2.4.1.

$$S_e, A / \quad . \quad 1).$$

2.4.2.

$$S(X) = - S_{OTH}(\quad),$$

(4)

$$5^{\wedge}683 U(A) d X$$

$$=?-----, \quad /$$

(5)

683—

7721—89;

.5 17333-80

$$sj^{\wedge dk} = \dots^5 \dots, \quad (6)$$

2.5.

(780—1200) — (380—780) $\pm 13\%$, $\pm 12\%$,
 $\pm 17\%$. (230—380)

(, . 1).

3.

3.1.

3.1.1.

3.1.2.

. 1.1.2, 1.3.1.

3.1.3.

3.2.

3.2.1. — . 1.2.

3.3.

3.3.1. . 1.3.

3.3.2.

3.4.

3.4.1.

, A/ ν ,

$${}^A(\) = So(\), \quad (7)$$

$/(\)$ — ;
 $U_0(k)$ — ;
 $*5_0(\)$ — ,

3.5.

(780—1200) — (380—780) $\pm 16\%$, $\pm 15\%$,
 $\pm 19\%$. (220—380)

(, . 1).

4.

4.1.

4.1.1.

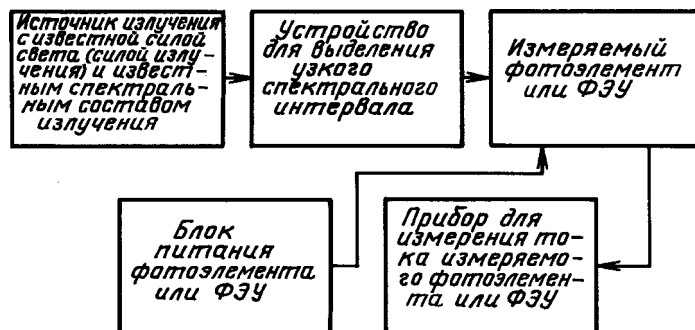
4.2.

4.2.1.

4.2.2.

.2.

7721-89.



.2

365,0/6,3

3 , 4 , 2

302,6/13,2
2 ;

7

1,2

6

253,7

4.2.3.

4.2.4.

+10

12

1).

0,5

4.2.5.
4.2.6.
4.3.
4.3.1.4.4.
4.4.1.

,5(), A/ ,

$$S(k) = \frac{I}{()},$$

()

(,) — /—

(), .

.7 17333-80**4.4.2.**

$$\{ \dots \} = \dots, \quad (9)$$

$$\frac{-\dots,-\dots,\dots}{-\dots,-\dots,-\dots,-\dots,-\dots,\dots,\dots} / \dots$$

$$= \frac{\int U(k) dk}{683 \mathbf{J} \int U(k) dk}, \quad (10)$$

(,)—
4.4.3.

$$= \dots, = \dots, \quad (11)$$

X5 () () ()

()—
4.4.4.

$$(253,7) - (253,7)^{\wedge} \quad (12)$$

$$\underset{=}{{\mathbf{X}}^{\Delta}} (\ast)$$

()—
4.5.

+17 %.

(, . . . 1).

(, . . . 1).

02354 14.07.2000. 13.03.2001. 21.03.2001. . 0,93. . 0,80.
552. . 310.

, 107076, . , . 14.

— . " , 103062, . , . 6.
080102